

# Représentations (réaliste) de vagues, Quelques applications à la visualisation de surface liquide.

Damien Rohmer, Cédric Rousset  
ETI 3 Image, CPE Lyon

11 février 2007

# Programme

- 1 Introduction
- 2 Cas Pseudo-Physique
  - Méthode simple et ses limites
  - Théorie linéaire des ondes de surfaces
  - Application
- 3 Méthodes Non Physique
  - Théorie du Bruit de Perlin
  - Utilisation du Ray Tracing
- 4 Conclusion

# Approches de la simulation de fluide

Approche Physique

Approche Non Physique

# Approches de la simulation de fluide

## Approche Physique

- Navier Stokes.
- Résolution d'EDP.

## Approche Non Physique

# Approches de la simulation de fluide

## Approche Physique

- Navier Stokes.
- Résolution d'EDP.

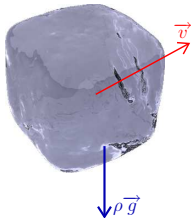
## Approche Non Physique

- Fonction Sinus.
- Fonction de Bruit.

# Approches de la simulation de fluide

## Approche Physique

- Navier Stokes.
- Résolution d'EDP.



$$\begin{cases} \frac{\partial \mathbf{v}}{\partial t} + (\mathbf{v} \cdot \nabla) \mathbf{v} = -\frac{\nabla p}{\rho} + \mu \nabla^2 \mathbf{v} + \mathbf{f} \\ \nabla \cdot \mathbf{v} = 0 \end{cases}$$

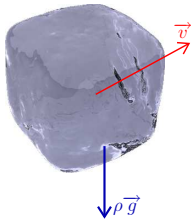
## Approche Non Physique

- Fonction Sinus.
- Fonction de Bruit.

# Approches de la simulation de fluide

## Approche Physique

- Navier Stokes.
- Résolution d'EDP.



$$\begin{cases} \frac{\partial \mathbf{v}}{\partial t} + (\mathbf{v} \cdot \nabla) \mathbf{v} = -\frac{\nabla p}{\rho} + \mu \nabla^2 \mathbf{v} + \mathbf{f} \\ \nabla \cdot \mathbf{v} = 0 \end{cases}$$

## Approche Non Physique

- Fonction Sinus.
- Fonction de Bruit.

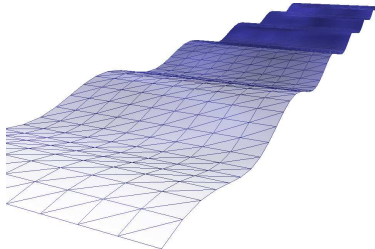
$$\sum f(\sin)(\mathbf{x}, t) + \text{noise}(\mathbf{x}, t)$$

## Cas sinusoïdale.

- On considère une grille  $(x,y)$  fixe de  $N_x \times N_y$  vertex.
- On calcul  $z(k_x, k_y) = \sum_i A_i \sin(\mathbf{k}_i \cdot \mathbf{x} - \omega_i t)$
- On affiche  $(x, y, z)$

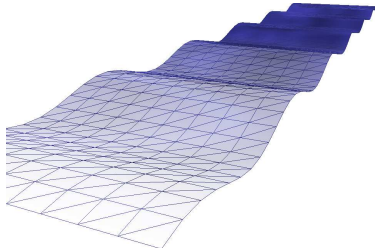
## Cas sinusoïdale.

- On considère une grille  $(x,y)$  fixe de  $N_x \times N_y$  vertex.
- On calcul  $z(k_x, k_y) = \sum_i A_i \sin(\mathbf{k}_i \cdot \mathbf{x} - \omega_i t)$
- On affiche  $(x, y, z)$



# Cas sinusoïdale.

- On considère une grille  $(x,y)$  fixe de  $N_x \times N_y$  vertex.
- On calcul  $z(k_x, k_y) = \sum_i A_i \sin(\mathbf{k}_i \cdot \mathbf{x} - \omega_i t)$
- On affiche  $(x, y, z)$



$$z = \sin(3*x-t/7.0)*0.3;$$



$$z = \sin(3*x-t/7.0)*0.1+\sin(2*x-t/14)*0.2 \\ +\sin(4*x-t/9.0)*0.05+\sin(3*y+0.5*x-t/5.0)*0.03 \\ +\sin(-4*y-0.5*x-t/6.4)*0.04+0.1*\sin(2.4*y-t/15.0) \\ +0.05*\sin(2.6*y-t/14);$$

## Oui Mais...

- Propagation **non réaliste**
- Très **périodique**
- Comment régler les  $A_i$  et  $\omega_i$  en fonction de  $\mathbf{k}_i$ .

## Oui Mais...

- Propagation **non réaliste**
- Très **périodique**
- Comment régler les  $A_i$  et  $\omega_i$  en fonction de  $\mathbf{k}_i$ .

### Que résolvons nous ?

- Prenons le cas de  $\|\mathbf{k}_i\| = \mu \omega_i$ .

## Oui Mais...

- Propagation **non réaliste**
- Très **périodique**
- Comment régler les  $A_i$  et  $\omega_i$  en fonction de  $\mathbf{k}_i$ .

### Que résolvons nous ?

- Prenons le cas de  $\|\mathbf{k}_i\| = \mu \omega_i$ .
- On résout en réalité l'équation de **propagation des ondes** :

$$\Delta z - \mu^2 \frac{\partial z}{\partial t^2} = 0$$

## Oui Mais...

- Propagation **non réaliste**
- Très **périodique**
- Comment régler les  $A_i$  et  $\omega_i$  en fonction de  $\mathbf{k}_i$ .

### Que résolvons nous ?

- Prenons le cas de  $\|\mathbf{k}_i\| = \mu \omega_i$ .
- On résout en réalité l'équation de **propagation des ondes** :

$$\Delta z - \mu^2 \frac{\partial z}{\partial t^2} = 0$$

- **Ce n'est pas la propagation des fluides !!**

## Ajoutons la physique : Ondes de surfaces

Repartons à la base + Hypothèses :

- Navier Stokes (surface libre) :

## Ajoutons la physique : Ondes de surfaces

Repartons à la base + Hypothèses :

- Navier Stokes (surface libre) :
- **Hypothèse 1** : Irrotationnel :

## Ajoutons la physique : Ondes de surfaces

Repartons à la base + Hypothèses :

- Navier Stokes (surface libre) :
- **Hypothèse 1** : Irrotationnel :
- Incompressibilité :

## Ajoutons la physique : Ondes de surfaces

Repartons à la base + Hypothèses :

- Navier Stokes (surface libre) :
- **Hypothèse 1** : Irrotationnel :
- Incompressibilité :
- **Hypothèse 2** : La profondeur ne rentre pas en compte

## Ajoutons la physique : Ondes de surfaces

Repartons à la base + Hypothèses :

- Navier Stokes (surface libre) :
- **Hypothèse 1** : Irrotationnel :
- Incompressibilité :
- **Hypothèse 2** : La profondeur ne rentre pas en compte

Mélangons le tout

$$\Rightarrow \begin{cases} \frac{\partial z}{\partial t} + v_x \frac{\partial z}{\partial x} + v_y \frac{\partial z}{\partial y} = v_z \\ \frac{\partial \phi}{\partial t} + \frac{1}{2} \mathbf{v}^2 + g z = 0 \end{cases}$$

## Puis retirons en un peu ...

$$\frac{\partial z}{\partial t} + v_x \frac{\partial z}{\partial x} + v_y \frac{\partial z}{\partial y} = v_z \quad \text{et} \quad \frac{\partial \phi}{\partial t} + \frac{1}{2} \mathbf{v}^2 + g z = 0$$

- Toujours trop complexe : Non linéaire !

## Puis retirons en un peu ...

$$\frac{\partial z}{\partial t} + v_x \frac{\partial z}{\partial x} + v_y \frac{\partial z}{\partial y} = v_z \quad \text{et} \quad \frac{\partial \phi}{\partial t} + \frac{1}{2} \mathbf{v}^2 + g z = 0$$

- Toujours trop complexe : Non linéaire !
- Linéarisons :

$$\Rightarrow \frac{\partial z}{\partial t} = v_z \quad \text{et} \quad \frac{\partial \phi}{\partial t} + g z = 0$$

**Attention** : Hypothèse de faible amplitude

## Equation résolue

La relation est maintenant **simple**.

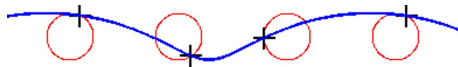
$$\frac{\partial z}{\partial t} = v_z \quad \text{et} \quad \frac{\partial \phi}{\partial t} + g z = 0$$

- On injecte  $z = A \cos(\mathbf{k} \cdot \mathbf{x} - \omega t)$

# Relation 1

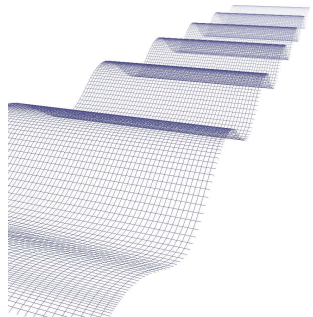
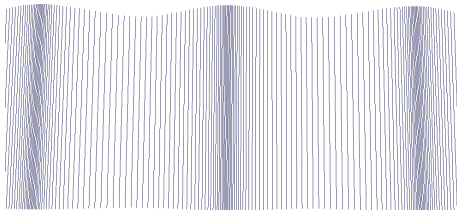
$$\begin{cases} \mathbf{X} = A \frac{\mathbf{k}}{\|\mathbf{k}\|} \sin(\mathbf{k} \cdot \mathbf{x} - \omega t) \\ z = A \cos(\mathbf{k} \cdot \mathbf{x} - \omega t) \end{cases}$$

- $z$  **n'est pas** la seule coordonnée à varier.
- La forme des vagues n'est donc **pas sinusoïdale**.
- Modèle de **trochoïdes** : Houle de Gestner (1802).  
[Fournier and Reeves, A simple models of ocean waves, 1986]
- **Trajectoire circulaire** des particules.



# Relation 1 (Trochoïde)

- Zone de compression (Propagation d'une onde physique)



## Relation 2

Relation de Dispersion :

- **Ondes de Gravités** Vitesse d'onde  $>$  Vitesse de groupe

$$\omega = \sqrt{g \|\mathbf{k}\|}$$



⇒ Les **petites crêtes** se déplacent **plus rapidement** que les trains d'ondes.

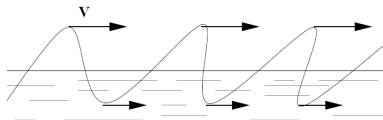
- On peut prendre en compte les **ondes de capillarités**

$$\omega = \sqrt{g \|\mathbf{k}\| + \frac{t}{\rho} \|\mathbf{k}\|^3}$$

## Prise en compte de la Profondeur

$$\omega = \sqrt{g \|\mathbf{k}\| \tanh(\|\mathbf{k}\| h)}$$

- Profondeur d'eau =  $\frac{\lambda}{h}$ .
- La vitesse de déplacement dépend de la hauteur de la vague.  
⇒ Attention à la brisure de vague.
- Permet de modéliser l'approche d'une plage.
- L'amplitude dépend de  $\|\mathbf{k}\|$ .



# Implémentation OpenGL

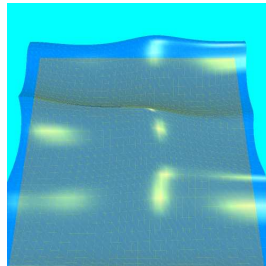
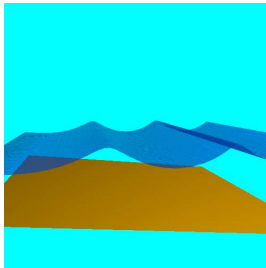
$$\begin{cases} \mathbf{X} = \sum A \frac{\mathbf{k}}{\|\mathbf{k}\|} \sin(\mathbf{k} \cdot \mathbf{x} - \omega t) \\ z = \sum A \cos(\mathbf{k} \cdot \mathbf{x} - \omega t) \end{cases}$$

- On défini pour chaque vertex :  
Position+Normal+Distance au sol
- La valeur de  $\mathbf{k}$  défini entièrement l'onde.

# Implémentation OpenGL : Paramètres

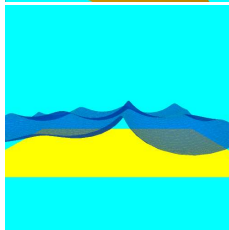
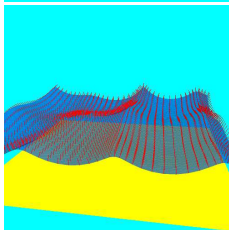
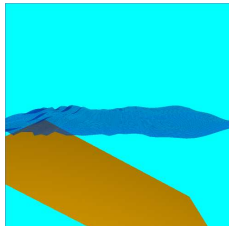
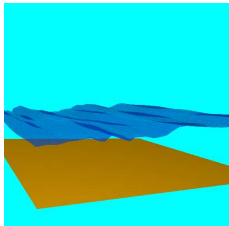
Paramètres de :

- Nombre d'ondes
- Amplitude
- Hauteur du sol



RUN

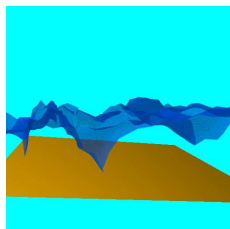
# Implémentation OpenGL



# Limitations de la méthode

Limitations dues aux **approximations** du modèle

- **Brisure de vague**  
(recouvrement)
- **Profondeur** trop faible ( $< \lambda$ )



Autres paramètres influants

- Vitesse du **vent**.
- Effet des **courants**

D'autres modèles physiques existent (Fournier et Reeves, Houle de Biesel, Bruit ...)

# Laissons la physique

# Laissons la physique

- **Idée 1** : La nature ressemble à du bruit.

# Laissons la physique

- **Idée 1** : La nature ressemble à du bruit.
- **Idée 2** : Le nature est de type fractal.

# Laissons la physique

- **Idée 1** : La nature ressemble à du bruit.
- **Idée 2** : Le nature est de type fractal.

⇒ **Bruit de Perlin.**

[Ken Perlin, Hypertexture, 1989]

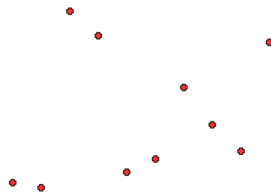
- Bruit (Pseudo Aléatoire) **continu** et de **nature fractale**.

# Le bruit de Perlin : Comment ça marche

- On considère  $f : n \mapsto f(n)$   
avec  $n \in \mathbb{Z}$
- On construit

$$\gamma : \begin{cases} \mathbb{R} & \rightarrow [0, 1] \\ x & \mapsto \gamma(x) \end{cases}$$

en **interpolant** les valeurs  
 $f(n)$ .

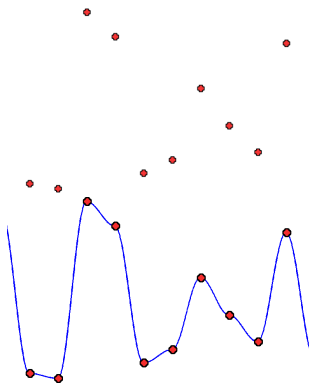


# Le bruit de Perlin : Comment ça marche

- On considère  $f : n \mapsto f(n)$   
avec  $n \in \mathbb{Z}$
- On construit

$$\gamma : \begin{cases} \mathbb{R} & \rightarrow [0, 1] \\ x & \mapsto \gamma(x) \end{cases}$$

en **interpolant** les valeurs  
 $f(n)$ .

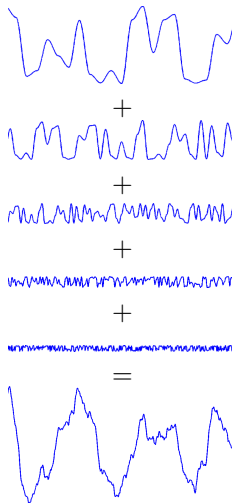


# Le Bruit de Perlin : L'aspect Fractale

- Trop lisse ?

$$\Rightarrow \gamma_N(x) = \sum_{k=0}^{k=N} \frac{\gamma(a^k x)}{b^k}$$

- N : octaves
- a : fréquence
- 1/b : persistance



# Le Bruit de Perlin : Le (pseudo) code (c)

```
float get_perlin(float (x,y,z),int octave,float persistence,float frequency)
{
    for(k=0:octave)
        (x,y,z) *= frequency^k;
    noise += interpolate_noise_3D(x,y,z)*persistence^k;
}
```

```
float interpolate_noise_1D(float x)
{
    x_0 =floor(x); x_1 =ceil (x); u = frac(x);
    return noise(x_0)*u+noise(x_1)*(1-u);
}
```

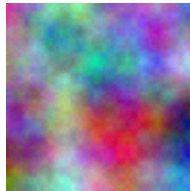
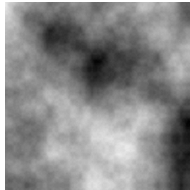
```
float noise_3D(int n1)
{
    //mess up
    n = ((n<<13)*5245465+rand_octave*23)*n*32412;
    //take abs
    n = n&0x7FFFFFFF;
    //between [0,1]
    return (n%/432435136)/(432435136);
}
```

# Le Bruit de Perlin : Applications I



# Le Bruit de Perlin : Applications I

- Textures (Gimp)
- Textures en couleurs (Gimp toujours)

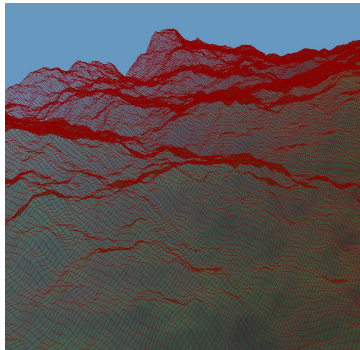
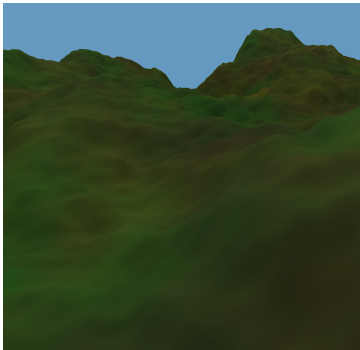


# Le Bruit de Perlin : Applications II

- Jolies Montagnes (Terragen)

# Le Bruit de Perlin : Applications II

- Jolies Montagnes (Terragen)



`z = 0.3*noise.get_perlin(x,y,0,6,1/2.0,2.0);`

## Le Bruit de Perlin : Applications III (fin)

- Feu, cheveux, formes quelconques, particules d'eau, ...

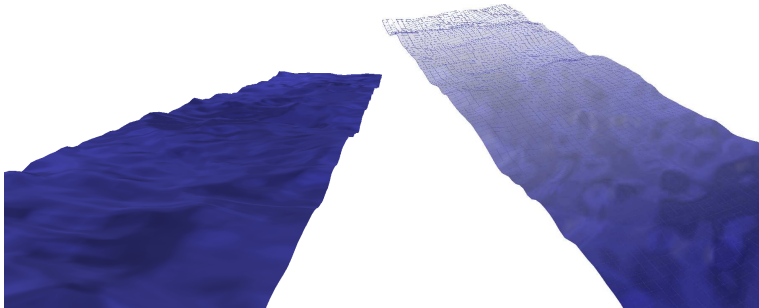
# Le Bruit de Perlin : Applications III (fin)

- Feu, cheveux, formes quelconques, particules d'eau, ...
- **Et de l'eau !**

# Le Bruit de Perlin : Applications III (fin)

- Feu, cheveux, formes quelconques, particules d'eau, ...
- **Et de l'eau !**  
Par exemple :

$$z = A \gamma(x, y, 0, \text{octave}) \left( + \sin(\mathbf{k} \cdot \mathbf{x} - \omega t) \right)$$



`z = 0.03*sin(3*x-t/7)+0.1*noise.get_perlin(2*x-t/20,2*y+0.05*cos(t/10),t/40-x/10+y/25,2,1/1.5,2);`

# Ridged Perlin

- **Problème** : Les crêtes sont lisses.

# Ridged Perlin

- **Problème** : Les crêtes sont lisses.
- Augmentation de *octave*  $\Rightarrow$  allure de montagnes.

# Ridged Perlin

- **Problème** : Les crêtes sont lisses.
- Augmentation de *octave*  $\Rightarrow$  allure de montagnes.
- **Solution** : Ridged (multifractal) Perlin  $\mu$ .

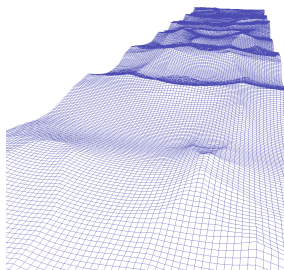
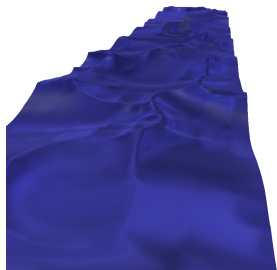
[code source Pov-Ray]

$$\left\{ \begin{array}{l} \mu_p(\mathbf{x}) = \mu(\mathbf{x}) + \sum_{k=1}^N \omega_k(\mathbf{x}) a^{-kH} \mu(a^k \mathbf{x}) \\ \left\{ \begin{array}{l} \omega_k(\mathbf{x}) = \min(\max(\alpha \omega_{k-1}(\mathbf{x}) \mu(a^{k-1} \mathbf{x}), 0), 1) \\ \omega_0(\mathbf{x}) = 1; \end{array} \right. \end{array} \right.$$

Avec

- $N$  : nombre d'octave,  $a$  : multiplicateur en fréquence
- $H$  : exposant (règle l'aspect lisse  $\in [0, 1]$ )
- $\alpha$  : Paramètre de coupure

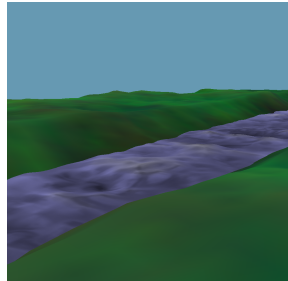
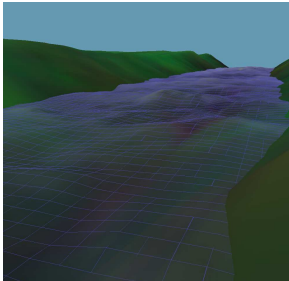
# Ridged Perlin : L'implémentation



# Au Final

- On peut combiner :  
[THON et al., A simple model for realistic running waters, 2000]

$$z = A \sum_i \sin(\mathbf{k} \cdot \mathbf{x} - \omega t) + B \gamma_N(\mathbf{x}) + C \mu(\mathbf{x})$$



Try it!

# Introduction du Ray Tracing

- Limitation de la qualité du rendu
- Limitation de la grille (rendu de fractal...)

# Introduction du Ray Tracing

- Limitation de la qualité du rendu
- Limitation de la grille (rendu de fractal...)

**Idée** : Utiliser le ray tracing

[Pov-Ray]

[merci à Christoph Hormann, Gilles Tran et Ben Weston]

# Introduction du Ray Tracing

- Limitation de la qualité du rendu
- Limitation de la grille (rendu de fractal...)

**Idée** : Utiliser le ray tracing

[Pov-Ray]

[merci à Christoph Hormann, Gilles Tran et Ben Weston]

- Pas de limitations de résolution
- Effet physiques : (refraction, reflexion, (caustics), ...)

# Introduction du Ray Tracing

- Limitation de la qualité du rendu
- Limitation de la grille (rendu de fractal...)

**Idée** : Utiliser le ray tracing

[Pov-Ray]

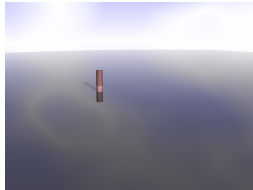
[merci à Christoph Hormann, Gilles Tran et Ben Weston]

- Pas de limitations de résolution
- Effet physiques : (refraction, reflexion, (caustics), ...)

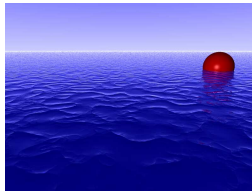
**Mais c'est très long !!**

## Point de départ

- On part d'une surface plate réfléchissante (et d'un ciel).



Solution de facilité : Bump Mapping (avec ridged Perlin)

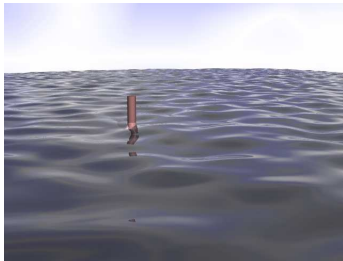


## Autre façon : Fonction Implicite + Perlin

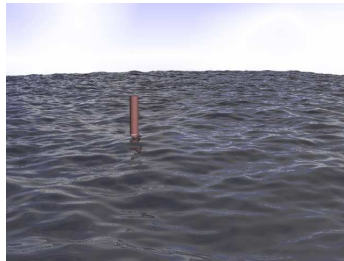
- On trace l'isosurface définie par

$$\left\{ (x, y, z) \in \mathbb{R}^3 \mid \phi(x, y, z) = 0 \right\}, \quad \phi = y + A\gamma_N + B\mu$$

- Perlin simple : un petit lac.



`y-0.5+f_noise3d(2*x,0,2*z)/10`

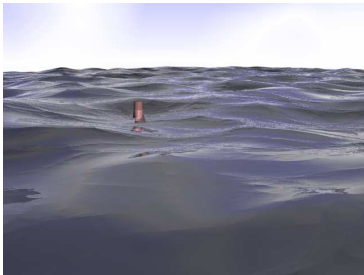


`y-0.5+f_noise3d(x,0,z)/5+f_noise3d(2*x,0,2*z)/10  
 +f_noise3d(4*x,0,4*z)/20+f_noise3d(8*x,0,8*z)/40`

anim

# Fonction Implicite : Ridged Perlin

- Et voila la mer



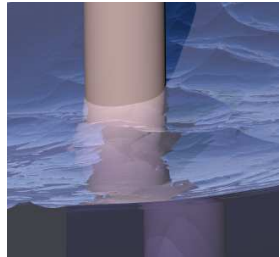
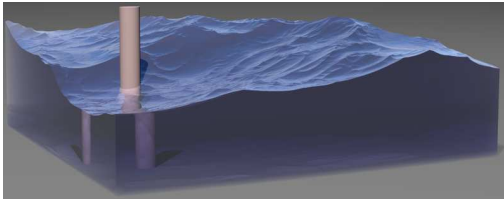
```
y-0.5  
-(f_ridged_mf(x/4,0,z/4,0.8,3,6,1,0.8,3)  
-0.8)/10-f_noise3d(x/1.3,0,z/1.3)/2.5  
anim
```



```
y-0.5  
-(f_ridged_mf(x/4,0,z/4,0.6,5,6,1,0.8,3)-1.5)/2  
-f_noise3d(x/1.3,0,z/1.3)/1.5
```

# Fonction Implicite : Ridged Perlin

- Une coupe au travers de la surface :



## Conclusion et possibilités de poursuite

- Les rendus dépendent des applications

	<b>Image Fixe</b>	<b>Animation</b>
<b>Rapidité</b>	Bruit simple	Sinus+Bruit
<b>Réalisme</b>	Bruit fractal	Equations + Bruit fractal

- Les **astuces** permettent d'avoir des aspects **photoréalistes**.
- La **physique** permet d'avoir un **comportement animé** correct.
- Les **interactions** forcent l'utilisation des **EDP**.
- Reprenons Navier-Stokes à la base ...

# Conclusion

... mais ceci sera pour la prochaine fois.

**Merci de votre attention.**

